

## محاسبات بر مبنای رایانه‌های کوانتومی و کاربرد آن برای تجزیه اعداد مرکب

علی جبار رشیدی<sup>۱\*</sup>، رحیم اصغری<sup>۲</sup>، مصطفی اسلامی<sup>۳</sup>

۱- دانشیار، ۲- استادیار، دانشگاه صنعتی مالک اشتر تهران ۳- استادیار، دانشگاه مازندران

(دریافت: ۹۵/۰۷/۰۵، پذیرش: ۹۶/۰۳/۰۶)

### چکیده

در مقاله حاضر تبدیل فوری کوانتومی به‌عنوان جزء کلیدی در الگوریتم تجزیه اعداد طبیعی به روش کوانتومی برای استفاده در الگوریتم شر معرفی می‌گردد. پیاده‌سازی کارای الگوریتم شر که تنها الگوریتم شناخته‌شده برای تجزیه اعداد با پیچیدگی زمانی چندجمله‌ای است، هدف اصلی این مقاله است. در این مقاله، پیچیدگی محاسباتی مراحل مختلف الگوریتم تجزیه اعداد طبیعی و مدارهای کوانتومی برای اجرای تبدیل فوری کوانتومی ارائه شده‌اند. هم‌چنین، در این مقاله تبدیل فوری کوانتومی تعمیم و برای انجام محاسبات بهبود یافته است. الگوریتم شر بهبودیافته در نرم‌افزار میپل با استفاده از کتابخانه محاسبات کوانتومی پیاده‌سازی شده است. با استفاده از این کتابخانه مفاهیم کوانتومی در هم تنیدگی و موازی در رایانه کلاسیک شبیه‌سازی شده‌اند. مثال‌هایی از شبیه‌سازی تخمین فاز به همراه جدول و نمودار برای نمایش قابلیت برنامه ارائه کرده‌ایم. در پایان مثال‌هایی به همراه نتایج برای محاسبات الگوریتم شر بهبود داده‌شده، آورده‌ایم.

**واژه‌های کلیدی:** محاسبات کوانتومی، تبدیل فوری کوانتومی، الگوریتم شر، تخمین فاز، شبیه‌سازی

### ۱- مقدمه

تا این لحظه مهم‌ترین یافته در محاسبات کوانتومی این است که رایانه‌های کوانتومی می‌توانند محاسباتی را که بر روی یک رایانه کلاسیک، در زمان چندجمله‌ای قابل پیاده‌سازی نیستند، به‌طور کارآمد اجرا کنند [۱]. به‌عنوان مثال، پیدا کردن عامل‌های اول یک عدد صحیح  $n$  بیتی با استفاده از بهترین الگوریتم‌های کلاسیک شناخته‌شده به  $\exp(O(n^{1/3} \log^{2/3} n))$  عملیات نیاز دارد [۲]. بنابراین، تجزیه اعداد به عامل‌های اول روی یک کامپیوتر کلاسیک، به‌عنوان یک مسئله سخت مورد توجه قرار می‌گیرد. اهمیت رایانه کوانتومی در این جاست که الگوریتم شر کوانتومی (که روی یک رایانه کوانتومی اجرا می‌شود) می‌تواند این کار را با استفاده از  $O(n^2 \log n \log \log n)$  عملیات انجام دهد [۳]. تجزیه اعداد مرکب به عامل‌های اول از این نظر با اهمیت است که الگوریتم رمزنگاری RSA به‌عنوان یکی از پرکاربردترین الگوریتم‌های رمزنگاری مبتنی بر آن است. این الگوریتم رمزنگاری به دلیل کارایی بالا در محاسبه، سال‌هاست که در مهم‌ترین مراکز امنیتی، مراکز مالی تا نهادهای نظامی و ... مورد استفاده قرار می‌گیرد [۴]. هم‌چنین تبدیل فوری کوانتومی که مهم‌ترین قسمت الگوریتم شر (بخش کوانتومی) را شامل می‌شود و البته در بسیاری از محاسبات کوانتومی دیگر هم ظاهر می‌شود از اهمیت

ویژه‌ای برخوردار است که به آن می‌پردازیم. مسئله دیگر این است که در مقاله‌ها و کتاب‌های مختلفی در رابطه با تبدیل فوری نوشته شده است [۵-۷] ولی درک عملکرد این الگوریتم موضوعی است که در اکثر این منابع کمتر مورد توجه قرار می‌گیرد. مقاله حاضر در تلاش است که به این زمینه بیش‌تر بپردازد. براساس مشاهدات فاینمن<sup>۱</sup> [۸]، شبیه‌سازی انجام محاسبات که باید در رایانه کوانتومی صورت بپذیرد، در رایانه‌های کلاسیک ناممکن است. این مسئله را طی انجام این مقاله به‌خوبی درک کردیم. با این حال، می‌توان برای انجام محاسبات جبری و محاسبات ماتریسی به شبیه‌سازی عملگرهای کوانتومی مانند کت‌ها، گیت‌ها و عملگرهای یکانی و در نتیجه تبدیل فوری کوانتومی در رایانه‌های کوانتومی پرداخت. در مقاله [۹]، الگوریتم شر در نرم‌افزار میپل<sup>۲</sup> شبیه‌سازی شد، ولی در آن‌جا تنها به شبیه‌سازی بخش‌های کلاسیک نرم‌افزار اکتفا شده است. در آن مقاله، یافتن مرتبه با استفاده از نرم‌افزار مرتبه‌یاب میپل انجام گرفت و با محاسبه مرتبه شبیه‌سازی الگوریتم شر صورت پذیرفت. در الگوریتم شر ذکرشده در آن مقاله، در واقع برخی از جنبه‌های خاص این الگوریتم شبیه‌سازی شده است. به‌عنوان مثال، عملگرهای یکانی که در رایانه کوانتومی اعمال می‌شوند، شبیه‌سازی نشده ولی نتایج حاصل از آن تبدیل‌ها را در رایانه کلاسیک (به‌صورت احتمالی "تقریباً حتماً") ساخته است.

1- Von Neumann

2- Maple

\* رایانه‌نامه نویسنده مسئول: Aiorashid@yahoo.com

$$y_k = \frac{1}{\sqrt{N}} \sum_{j=0}^{N-1} x_j e^{2\pi ijk/N} \quad (1)$$

تبدیل فوریه کوانتومی دقیقاً همان تبدیل فوریه گسسته است ولی نحوه نمادگذاری‌ها با توجه به نحوه نمادگذاری‌ها در فیزیک کوانتوم برای تبدیل فوریه کوانتومی، کمی متفاوت می‌شود. همان‌طور که در رابطه (۲) نشان داده شده است، تبدیل فوریه کوانتومی روی پایه‌های  $|0\rangle, \dots, |N-1\rangle$  تعریف می‌شود.

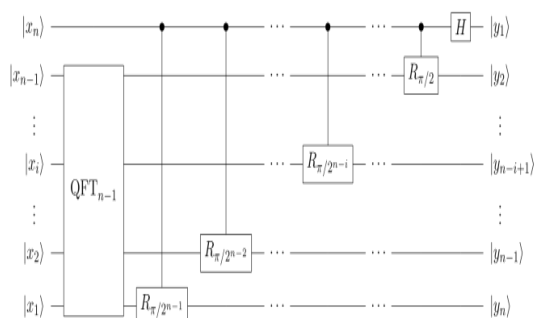
$$|j\rangle \rightarrow \frac{1}{\sqrt{N}} \sum_{k=0}^{N-1} e^{2\pi ijk/N} |k\rangle \quad (2)$$

تبدیل بالا تبدیلی یکانی است و می‌تواند بر روی یک کامپیوتر کوانتومی پیاده‌سازی شود. در این رابطه، متغیر  $N$  که برابر با  $2^n$  است را در نظر می‌گیریم که  $n$  در آن، عددی صحیح بوده و بردارهای  $|0\rangle, \dots, |2^n - 1\rangle$  هم پایه‌های محاسباتی برای یک رایانه کوانتومی  $n$  کیوبیتی محسوب می‌شوند. در این صورت می‌توان حالت  $|j\rangle$  را با استفاده از نمایش باینری  $j = j_1 j_2 \dots j_n$  نشان داد. هم‌چنین می‌توان حالت  $|j\rangle$  را به صورت  $|j\rangle = \frac{1}{\sqrt{2}} \left( \frac{|j\rangle + |j+1\rangle}{2} + \dots + \frac{|j\rangle + |j+2^m-1\rangle}{2^m} \right)$  نیز نمایش داد.

به کمک خواص جبری، تبدیل فوریه کوانتومی می‌تواند به صورت رابطه (۳-۵) ارائه شود:

$$|j_1, \dots, j_n\rangle \rightarrow \frac{(|0\rangle + e^{2\pi i 0 \cdot j_n} |1\rangle) \dots (|0\rangle + e^{2\pi i 0 \cdot j_1 j_2 \dots j_n} |1\rangle)}{2^{n/2}} \quad (3)$$

این نمایش به ما اجازه پیاده‌سازی یک مدار کوانتومی کارآمد، جهت محاسبه تبدیل فوریه کوانتومی را می‌دهد. رابطه (۳)، استخراج یک مدار کارآمد برای تبدیل فوریه کوانتومی را آسان می‌سازد. یک چنین مداری در شکل (۱) نشان داده شده است [۵].



شکل (۱): مدار پیاده‌سازی تبدیل فوریه کوانتومی

گیت  $R_k$  (گیت چرخش شرطی)، بیانگر یک تبدیلی یکانی است و ماتریس نظیر آن در رابطه (۴) ارائه گردیده است:

$$R_k = \begin{bmatrix} 1 & 0 \\ 0 & e^{2\pi i/k} \end{bmatrix} \quad (4)$$

در مقاله حاضر برای پیاده‌سازی، نرم‌افزار میپل را انتخاب کرده‌ایم زیرا این نرم‌افزار از یک سو دارای ابزارهای بسیار مناسب جبر خطی است و از طرفی دیگر، کتابخانه مناسبی را برای انجام محاسبات کوانتومی توسعه داده است [۱۲-۱۰]. کتابخانه‌ای که در این مقاله مورد استفاده قرار داده‌ایم Open QACS است که توسط کریس مک کوپین توسعه داده شد [۱۳]. این کتابخانه با وجود محدودیتی که دارد، ابزارهای لازم جهت ایجاد کت‌ها و گیت‌های لازم شبیه‌سازی مدارهای کوانتومی را در اختیار ما قرار می‌دهد. با استفاده از این کتابخانه، می‌توان تبدیل فوریه مورد نظر را به صورت عملگر ماتریسی ساخت که برای اختصارنویسی، از ارائه کدها صرف‌نظر کرده‌ایم.

در این مقاله، تبدیل فوریه کوانتومی را که بخش کلیدی الگوریتم تجزیه اعداد صحیح به عوامل اول و بسیاری الگوریتم‌های کوانتومی دیگر است، مورد بررسی قرار می‌دهیم. تبدیل فوریه کوانتومی عبارت از یک الگوریتم کوانتومی مؤثر برای اجرای یک تبدیل فوریه است [۱۴]. به کمک تبدیل فوریه کوانتومی، تخمین فاز کوانتومی که تقریبی از مقادیر ویژه یک عملگر یکانی، تحت شرایط معین است، امکان‌پذیر می‌شود [۱۵]. این کار به ما اجازه می‌دهد که مسائلی مانند مسئله یافتن درجه و مسئله تجزیه اعداد صحیح به عامل‌های اول را مشابه آن‌چه در رایانه کوانتومی انجام می‌شود شبیه‌سازی کنیم. مثال‌هایی از تخمین فاز با استفاده از برنامه، ارائه شده است. در مقاله حاضر پیچیدگی زمانی مراحل مختلف الگوریتم ارائه‌شده و گام‌های الگوریتم شر برای تجزیه اعداد مرکب آورده شده‌اند.

ساختار مقاله به این ترتیب است: ابتدا در بخش ۲، تبدیل فوریه کوانتومی و نیز فرم تعمیم‌یافته آن را ارائه کرده و در بخش ۳، تخمین فاز کوانتومی براساس تبدیل فوریه کوانتومی تعمیم‌یافته، بیان شده است. در بخش ۴، مرتبه‌یابی کوانتومی را مطرح کرده و در نهایت در بخش ۵، الگوریتم شر برای تجزیه اعداد صحیح مثبت، به عنوان کاربردی از تبدیل فوریه کوانتومی تعمیم‌یافته، شبیه‌سازی و نتایج ارائه گردیده‌اند.

## ۲- تبدیل فوریه کوانتومی

یافته‌های جدید در محاسبه کوانتومی شامل انجام تبدیلاتی است که می‌توانند روی یک کامپیوتر کوانتومی، خیلی سریع‌تر از یک کامپیوتر کلاسیک اجرا شوند. این یافته، ساخت الگوریتم‌های سریع برای کامپیوترهای کوانتومی را ممکن ساخته است [۱۶]. تبدیل فوریه گسسته، یک بردار از اعداد مختلط را به عنوان ورودی و به صورت  $x_0, \dots, x_{N-1}$  را (طول بردار  $N$ ، یک پارامتر ثابت است) می‌گیرد. خروجی آن (داده تبدیل‌شده)، یک بردار از اعداد مختلط  $y_0, \dots, y_{N-1}$  است که توسط رابطه (۱) تعریف می‌شود:

بازسازی کرد. دنباله ساخته شده قابی از فضای هیلبرت خواهد بود اگر ثابت‌های مثبت  $a$  و  $b$  برای هر  $f \in H$  وجود داشته باشند به طوری که رابطه زیر برقرار باشد: [۱۸]

$$a\|f\|^2 \leq \sum_{n \in \mathbb{N}} |\langle f, \phi_n \rangle|^2 \leq b\|f\|^2 \quad (۶)$$

از طرفی، اگر  $a = b$  باشد این قاب فشرده نامیده می‌شود و عملگر به دست آمده را عملگر قاب<sup>۵</sup> می‌نامند و ثابت می‌شود که  $U$  عملگر قاب است اگر و فقط اگر در برد خود وارون پذیر متنهائی باشد. اکنون فرمول بندی در فضای پیوسته را ارائه می‌کنیم که به سادگی قابل تعمیم به حالت گسسته خواهد بود. ایده تعمیم دادن تبدیل فوری کوانتومی به تحلیل آنالیز فوری برای معادلات دیفرانسیل معمولی در مجموعه اعداد حقیقی باز می‌گردد.

در حالت ساده معادله اشتروم لیوول<sup>۶</sup> را در نیم صفحه  $[0, \infty)$  به صورت زیر در نظر می‌گیریم:

$$Lf = -\frac{d^2 f}{dx^2} + q(x)f(x) = g(x) \quad (۸)$$

که در آن، تابع  $q$  برای  $t \geq 0$  و در بازه  $[0, t]$  و نه لزوماً در  $[0, \infty)$  انتگرال پذیر است. توابع  $f$  و  $g$  در مجموعه اعداد حقیقی پیوسته مشتق پذیر هستند. هم چنین در این جا ممکن است به شرط دومی نیاز داشته باشیم که در بی نهایت باید برقرار باشد.

برای هر عدد مختلط  $\lambda$  تابع ویژه و یکتای  $\phi_\lambda(x)$  ای وجود دارد به طوری که در روابط زیر صدق می‌کند:

$$\begin{aligned} L\phi_\lambda &= \lambda\phi_\lambda \\ \cos \alpha\phi_\lambda(0) + \sin \alpha\phi_\lambda'(0) &= 0 \\ -\sin \alpha\phi_\lambda(0) + \cos \alpha\phi_\lambda'(0) &= 1 \\ \phi_\lambda &\in L^2[0, \infty) \end{aligned} \quad (۹)$$

$\phi_\lambda(x)$  ممکن است در بی نهایت شرایطی را برآورده نماید. اگر  $\lambda$  به  $u$  همگرا شود، این توابع تقریباً همه جا دارای حد نقطه ای خواهند بود که لزوماً در فضای هیلبرت  $L^2[0, \infty)$  قرار ندارند، ولی برای  $t \geq 0$  در هر بازه متناهی  $[0, t]$  دارای انتگرال مرتبه دوم خواهند بود. در صورتی که تابع  $\phi_\lambda$  یک تابع ویژه متناظر با  $u$  باشد، در فضای هیلبرت  $L^2[0, \infty)$  قرار خواهد گرفت.

قضیه اشتروم لیوول [۱۹]: فرض کنید عملگر  $\Gamma$  در دامنه  $D(\Gamma)$ ، که شامل توابع پیوسته مطلق موضعی در بازه  $[0, \infty)$  هستند، قرار می‌گیرد. هم چنین فرض می‌کنیم که این توابع شروط مورد

در مدار شکل (۱)، ابتدا یک گیت هادامارد<sup>۱</sup> و  $n-1$  چرخش شرطی، روی اولین کیوبیت اعمال می‌شود یعنی در مجموع  $n$  گیت مورد استفاده قرار می‌گیرد. سپس روی دومین کیوبیت، یک گیت هادامارد و  $n-2$  چرخش شرطی یعنی در مجموع  $n-1$  گیت اعمال می‌شوند.

به این ترتیب، تعداد گیت‌های مورد نیاز در این مدار برابر با  $n + (n-1) + \dots + 1 = \frac{n(n+1)}{2}$  خواهد بود. البته این تعداد گیت، بدون احتساب گیت‌های جابه جایی است. از طرفی به تعداد  $\frac{n}{2}$  گیت جابه جایی نیز مورد نیاز است که هر گیت جابه جایی با استفاده از سه گیت CNOT، پیاده سازی می‌شود. بنابراین، این مدار یک الگوریتم از مرتبه  $\Theta(n^2)$  برای اجرای تبدیل فوری کوانتومی فراهم می‌کند. برعکس، بهترین الگوریتم‌های کلاسیک برای محاسبه تبدیل فوری گسسته عبارتند از: الگوریتم‌هایی مثل تبدیل فوری سریع (FFT<sup>۲</sup>) که تبدیل فوری گسسته را با استفاده از  $\Theta(n^2)$  گیت، محاسبه می‌کند [۱۷].

در نتیجه، محاسبه تبدیل فوری روی یک کامپیوتر کلاسیک نسبت به محاسبه تبدیل فوری کوانتومی روی یک کامپیوتر کوانتومی، به طور نمایی به عملگرهای بیش تری نیاز دارد.

### ۳- تعمیم تبدیل فوری

برای به دست آوردن کارایی بهتر، می‌توان الگوریتم فوری کوانتومی را تعمیم داد. در این جا به طور خلاصه به نحوه تعمیم الگوریتم فوری با استفاده از چند جمله ای‌های متعامد (مانند لاگور<sup>۳</sup> و هرمیت<sup>۴</sup>) می‌پردازیم. فرض کنید تابع  $f \in H$  بوده که در آن  $H$  فضای هیلبرت است. هم چنین فرض کنید  $\{\phi_n\}_{n \in \mathbb{N}}$  خانواده ای از بردارها در فضای هیلبرت  $H$  باشد، در این صورت می‌توان بر اساس خانواده بردارها یک عملگر به صورت زیر تعریف کرد:

$$\forall n \in \mathbb{N}, Uf[n] = \langle f, \phi_n \rangle \quad (۵)$$

این عملگر، اساساً یک کار انجام می‌دهد و آن اختصاص مجموعه ای از اعداد به تابع  $f$  است، به این صورت که  $n$  امین عدد متناظر با ضرب داخلی تابع  $f$  در  $\phi_n$  (می‌توان به جای ضرب داخلی روابط دیگری نیز تعریف نمود) است. برای ساخت مجدد تابع  $f$  از عملگر تعریف شده، باید عملگر ساخته شده (در اینجا  $U$ ) وارون پذیر باشد (به عنوان مثال عملگری که با استفاده از توابع سینوسی و کسینوسی مانند تبدیل فوری معمولی ساخته می‌شود). مطلب دوم این است که نمی‌توان هر تابع دلخواه  $f$  را

5- Frame operator  
6- Sturm-Liouville

1- Hadamard  
2- Fast Fourier Transform  
3- Laguerre  
4- Hermit

f به کار می‌رود.

برای تعریف تابع دلتای دیراک<sup>۲</sup> در حالت پیوسته داریم:

$$\sigma(x-y) = \int_{-\infty}^{\infty} e^{i2\pi\omega x} e^{i2\pi\omega y} d\omega \quad (17)$$

در نتیجه خواهیم داشت:

$$f(x) = \int_{-\infty}^{\infty} f(y) \delta(x-y) dy = \int_{-\infty}^{\infty} e^{i2\pi\omega x} \int_{-\infty}^{\infty} f(y) e^{i2\pi\omega y} dy d\omega = \quad (18)$$

$$\int_{-\infty}^{\infty} e^{i2\pi\omega x} \hat{f}(\omega) d\omega$$

هم‌چنین، برای مقادیر ویژه عملگر دیفرانسیلی اشتروم-لیوول،

در حالت گسسته خواهیم داشت:

$$\sigma(x-y) = \sum_{n=0}^{\infty} \Psi_n(x) \Psi_n^*(y) \quad (19)$$

که در این صورت:

$$f(x) = \sum_{n=0}^{\infty} \Psi_n(x) \int_{-\infty}^{\infty} f(y) \Psi_n^*(y) dy \quad (20)$$

در این جا برای مقادیر  $n \geq 0$ ، توابع  $\Psi_n$  متعامد

پایه بوده و  $\Psi_n^*$  توابع دوگان آن‌ها محسوب می‌شوند. برای مثال،

با استفاده از توابع متعامد لاگور  $L_m^\alpha$  از مرتبه  $\alpha$  به جای  $\Psi_n$

در حالت پیوسته خواهیم داشت:

$$\frac{(n+\alpha)!}{n!} \sigma_{mn} = \int x^\alpha e^{-x} L_n^\alpha(x) L_m^\alpha(x) dx \quad (21)$$

نتیجه می‌دهد:

$$f(x) = \sum_{n=0}^{\infty} \frac{n! L_n^\alpha(x)}{(n+\alpha)!} \hat{f}_n \quad (22)$$

$$\hat{f}_n = \int x^\alpha e^{-x} L_n^\alpha(x) f(x) dx \quad (23)$$

#### ۴- تخمین فاز کوانتومی

پایه و اساس بسیاری از الگوریتم‌های کوانتومی، الگوریتم حداکثر

تخمین فاز کوانتومی است [۲۱]. فرض کنید عملگر  $U$ ، عملگری

یکانی می‌باشد که یک بردار ویژه  $|u\rangle$  با مقدار ویژه  $e^{2\pi i \phi}$  دارد.

هدف الگوریتم تخمین فاز، تخمین مقدار  $\phi$  است. روش تخمین

فاز کوانتومی از دو ثبات استفاده می‌کند. ثبات اول، در ابتدا  $t$  بیت

کوانتومی را در حالت  $|0\rangle$  دربردارد که مقدار  $t$  وابسته به تعداد ارقام

دقتی است که می‌خواهیم در تخمین داشته باشیم، انتخاب

می‌شود. ثبات دوم در حالت  $|u\rangle$  قرار دارد و تعداد بیت کوانتومی

نیاز در نقاط صفر و  $\infty$  را برآورده می‌کنند. در این صورت اندازه

$\mu$  روی  $\square$  که روی طیف  $\sigma(L)$  از عملگر  $\Gamma$  توزیع می‌شود

به طوری که تبدیل فوریه تعمیم‌یافته روی  $L^2[\square, \mu]$  می‌باشد،

به صورت حد زیر خواهد بود:

$$\hat{f}(u) = \lim_{r \rightarrow \infty} \int_0^r f(x) \phi_u(x) dx \quad (9)$$

پس وارون تبدیل فوریه کوانتومی تعمیم‌یافته هم در

$L^2[0, \infty]$  برابر با رابطه زیر خواهد بود:

$$f(u) = \lim_{r \rightarrow \infty} \int_{-r}^r \hat{f}(x) \phi_u(x) d\mu(u) \quad (10)$$

علاوه بر آن، با استفاده از معادله پارسوال خواهیم داشت:

$$f_{L^2} \neq \hat{f}_{L^2} \quad (11)$$

یعنی:

$$\int_{-\infty}^{\infty} |\hat{f}(u)|^2 d\mu(u) = \int_{-\infty}^{\infty} |f(u)|^2 dx \quad (12)$$

در نتیجه، تابع  $f \mapsto \hat{f}$  پوشا و یک به یک بوده و بنابراین،

وارون پذیری تبدیل فوریه کوانتومی به دست می‌آید. در واقع،

تبدیل فوریه، عملگر  $\Gamma$  را به یک ضرب با  $u$  تبدیل می‌کند، به

صورتی که  $f \in D(\Gamma)$  اگر و تنها اگر داشته باشیم:

$$uf \in L^2[\square, \mu] \quad (13)$$

و در این حالت، رابطه  $\Gamma f(u) = uf(u)$  برقرار می‌باشد.

در مجموع، اندازه  $\mu$  می‌تواند دارای مؤلفه‌های گسسته یا

پیوسته باشد (مانند تبدیل هنکل<sup>۱</sup>). چنین توسیع‌هایی بسیار

شبهه به توسیع تابع ویژه پیوسته است [۲۰]. به بیان دیگر، به جای

رابطه زیر:

$$f = \sum_{\lambda_n} (f, \phi_{\lambda_n}) \phi_{\lambda_n} \mu_n \quad (14)$$

رابطه زیر را داریم:

$$f = \int_{-\infty}^{\infty} (f, \phi_{\lambda_n}) \phi_u(x) d\mu(u) \quad (15)$$

که در آن خواهیم داشت:

$$(f, \phi_u) = L_\mu^2 \lim_{r \rightarrow \infty} \int_0^r f(x) \phi_u(x) dx \quad (16)$$

تبدیل فوریه  $\hat{f}(u) = (f, \phi_u)$  چگالی طیفی  $f$  است و اندازه

آن به عنوان ضریب تابع ویژه  $\phi_u$  تفسیر می‌شود که برای بازسازی

۴-۱- یافتن درجه

برای اعداد صحیح مثبت  $N$  و  $x$  که  $x < N$  بوده و هیچ عامل مشترکی با هم ندارند، درجه  $x$  به پیمانه  $N$  شامل کوچکترین عدد صحیح و مثبت  $r$  است که در رابطه  $x^r = 1 \pmod{N}$  صدق می کند. مسئله یافتن درجه  $x$  عبارت از تعیین  $r$  مقدار به ازای مقادیر مشخص  $N$  است و این مسئله بر روی یک کامپیوتر کلاسیک به عنوان یک مسئله سخت مطرح به شمار می رود و این بدان معناست که حل آن بر روی یک کامپیوتر کلاسیک، از مرتبه نمایی است. در واقع، هیچ الگوریتم شناخته شده ای وجود ندارد که این مسئله را با استفاده از منابعی از مرتبه چندجمله ای حل نماید. به عبارت دیگر، اگر  $L$  بیت برای مشخص کردن  $N$  مورد نیاز باشد هیچ الگوریتمی وجود ندارد که مسئله یافتن درجه را از مرتبه  $O(L)$  حل نماید [۲۲]. در این قسمت خواهیم دید که چگونه تخمین فاز کوانتومی برای دست یابی به یک الگوریتم کوانتومی کارآمد یافتن درجه عدد  $x$  مورد استفاده قرار می گیرد. الگوریتم کوانتومی برای یافتن درجه دقیقاً همان الگوریتم تخمین فاز است که به عملگر یکانی اعمال می شود. رابطه (۶) را در نظر بگیرید:

$$U |y\rangle \equiv |xy \pmod{N}\rangle \quad (25)$$

که در آن،  $y \in \{0, 1\}^L$  است.

زمانی که  $1 - 2^L \leq y \leq N$  باشد قرارداد می کنیم که  $xy \pmod{N}$  دقیقاً برابر  $y$  است.

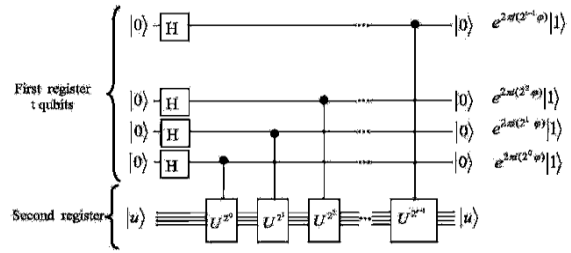
حالت هایی که به ازای عدد صحیح  $0 \leq s \leq r-1$  در رابطه (۷) صدق نمایند، حالت های ویژه  $U$  می نامیم. در این رابطه،  $\phi = \frac{s}{r}$  به دست می آید و  $\phi$  ثابت می شود که رابطه (۸) برقرار است:

$$|u_s\rangle \equiv \frac{1}{\sqrt{r}} \sum_{k=0}^{r-1} \exp\left[\frac{-2\pi i s k}{r}\right] |x^k \pmod{N}\rangle \quad (26)$$

$$U |u_s\rangle \equiv \frac{1}{\sqrt{r}} \sum_{k=0}^{r-1} \exp\left[\frac{-2\pi i s k}{r}\right] |x^{k+1} \pmod{N}\rangle \\ = \exp\left[\frac{2\pi i s}{r}\right] |u_s\rangle \quad (27)$$

در اجرای روش تخمین فاز، اگر از  $t$  بیت کوانتومی، در ثبات اول استفاده مطابق شکل (۳) و ثبات دوم را در حالت  $|1\rangle$  قرار دهیم در این صورت به ازای هر  $s$  در بازه  $0$  تا  $r-1$ ، یک تخمین از فاز  $\phi = \frac{s}{r}$  به دست می آوریم.

سه مرحله، اجرا می شود. ابتدا مدار نشان داده شده در شکل (۲) اعمال می شود.

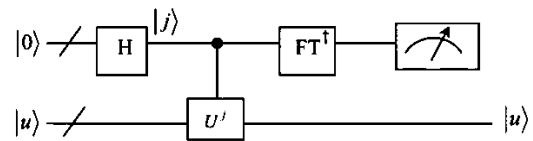


شکل (۲): مرحله اول روش تخمین فاز کوانتومی

در این مدار، ابتدا تبدیل هادامارد به اولین ثبات اعمال و سپس عملیات  $U^j$  از طریق ثبات دوم اجرا می گردد. بنابراین، حالت نهایی ثبات اول به صورت رابطه (۵) خواهد بود.

$$\frac{1}{2^{t/2}} \left( |0\rangle + e^{2\pi i 2^{t-1} \phi} |1\rangle \right) \left( |0\rangle + e^{2\pi i 2^{t-2} \phi} |1\rangle \right) \dots \left( |0\rangle + e^{2\pi i 2^0 \phi} |1\rangle \right) \\ = \frac{1}{2^{t/2}} \sum_{k=0}^{2^t-1} e^{2\pi i \phi k} |k\rangle \quad (24)$$

الگوریتم تخمین فاز کوانتومی، در شکل (۳) نشان داده شده است:



شکل (۳): مراحل الگوریتم تخمین فاز کوانتومی

الگوریتم تخمین فاز کوانتومی را در زیر مشاهده می کنید:

الگوریتم ۱: تخمین فاز کوانتومی	
ورودی ها:	
جعبه سیاه، حالت ویژه $ u\rangle$ و $t$ بیت کوانتومی خروجی ها: $\tilde{\phi}_u$ به عنوان تقریبی از مقدار $\phi_u$ گام های الگوریتم:	
حالت اولیه:	$ 0\rangle  u\rangle$
ایجاد برهم نهی:	$\rightarrow \frac{1}{\sqrt{2^t}} \sum_{j=0}^{2^t-1}  j\rangle  u\rangle$
اعمال جعبه سیاه:	$\rightarrow \frac{1}{\sqrt{2^t}} \sum_{j=0}^{2^t-1}  j\rangle U^j  u\rangle$
خروجی جعبه سیاه:	$\rightarrow \frac{1}{\sqrt{2^t}} \sum_{j=0}^{2^t-1} e^{2\pi i j \phi_u}  j\rangle  u\rangle$
اعمال تبدیل فوری معکوس:	$\rightarrow  \tilde{\phi}_u\rangle  u\rangle$
اندازه گیری ثبات اول:	$\rightarrow \tilde{\phi}_u$

فرض این که  $N$  حاصل ضرب دو عدد اول است، این مقدار باید نسبت به  $N$  نیز اول باشد. به ازای مقادیر مختلف  $x$ ، مقدار تابع  $f(x) = (a^x \bmod N)$  محاسبه می‌شود که تمام این عملیات با توان محاسبات کوانتومی، می‌تواند در واحد زمان انجام گردد. در نتایج تابع، یک الگوی تکراری وجود دارد که دوره این تکرارها را باید پیدا کرد.

یافتن این دوره، معادل یافتن درجه است. در واقع، برای تجزیه اعداد به عوامل اول نیاز به استفاده از الگوریتم یافتن درجه داریم. خوشبختانه این کار را می‌توان به سرعت روی کامپیوترهای کوانتومی با یک تغییر شکل تبدیل فوریه کوانتومی انجام داد. این دوره را با نماد  $r$  نشان می‌دهیم. سپس مقادیر  $\gcd(a^{r/2} - 1, N)$  و  $\gcd(a^{r/2} + 1, N)$  محاسبه می‌شوند (تابع  $\gcd$  بزرگ‌ترین مقسوم‌علیه مشترک می‌باشد). به دلیل برقراری تساوی  $a^r \bmod N = 1$  خواهیم داشت:

$$a^r - 1 = (a^{r/2} - 1)(a^{r/2} + 1) = 0 \bmod N \quad (28)$$

به این صورت،  $(a^{r/2} - 1)(a^{r/2} + 1)$  مضرب صحیحی از  $N$  است. در الگوریتم شر از خاصیت برهم‌نهی کوانتومی استفاده می‌شود که اجازه می‌دهد  $n$  کیوبیت در یک لحظه، تمام حالت ممکن را داشته باشند. پیتز شر نشان داد که کامپیوترهای کوانتومی قادر به محاسبه عوامل اول اعداد خیلی بزرگ، در یک‌زمان کوتاه هستند. این الگوریتم، وابسته به ترازوی کوانتومی و تبدیل فوریه کوانتومی است. مدارات کوانتومی، برای این الگوریتم با استفاده از کتابخانه Open QUACS [۱۱] در میبل طراحی شده‌اند. با انتخاب عدد صحیح  $N$ ، مراحل پیاده‌سازی الگوریتم شر جهت پیدا کردن عوامل اول آن به شرح زیر می‌باشند:

مرحله اول: پیدا کردن عدد صحیح  $Q$  که توانی از  $2$  بوده و  $2N^2 \leq Q \leq N^2$  باشد. این مرحله توسط رایانه‌های کلاسیک انجام می‌شود.

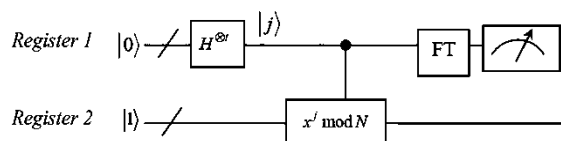
مرحله دوم: انتخاب عدد صحیح  $a$  که کوچک‌تر از  $N$  بوده و نسبت به آن اول باشد. این مرحله نیز توسط رایانه‌های کلاسیک انجام می‌شود.

مرحله سوم: ایجاد دو ثبات کوانتومی به نام ثبات ورودی و ثبات خروجی. ثبات ورودی باید دارای تعداد کافی کیوبیت، جهت نگهداری اعدادی به بزرگی  $Q-1$  باشد و ثبات خروجی باید دارای تعداد کافی کیوبیت جهت نگهداری اعدادی به بزرگی  $N-1$  باشد.

مرحله چهارم: بارگذاری ثبات ورودی با مقادیر صحیح  $0$  تا  $Q-1$  و بارگذاری ثبات خروجی با مقدار  $0$ .

مجموع حالت‌های اولیه ثبات‌های کوانتومی سیستم در این نقطه در رابطه (۲۹) بیان شده است.

مدار کوانتومی الگوریتم یافتن درجه را در شکل (۴) مشاهده می‌نمایید:



شکل (۴): مدار کوانتومی الگوریتم یافتن درجه

#### ۴-۱- الگوریتم کسرهای متوالی

تبدیل یافتن درجه به تخمین فاز، با توصیف چگونگی به دست آوردن پاسخ مطلوب  $r$  از نتیجه الگوریتم تخمین فاز  $(\phi \approx s/r)$ ، کامل می‌شود.  $\phi$  یک عدد گویا است (نسبت دو عدد صحیح معین) و اگر بتوانیم نزدیک‌ترین کسر متعارف به  $\phi$  را محاسبه کنیم، در این صورت قادر خواهیم بود که مقدار  $r$  را هم به دست آوریم. الگوریتم کسرهای متوالی، الگوریتم کلاسیکی است که در زمان چندجمله‌ای این کار را انجام می‌دهد.

فرض کنید  $\frac{s}{r}$  عددی گویا است که در شرط  $\left| \frac{s}{r} - \phi \right| \leq \frac{1}{2r^2}$

صدق می‌کند. در این صورت، مقدار  $\frac{s}{r}$  یکی از مقادیر حاصل از اجرای الگوریتم کسرهای متوالی برای  $\phi$  است. به‌طور خلاصه، با فرض  $\phi$ ، الگوریتم کسرهای متوالی، اعداد  $s'$  و  $r'$  را بدون هیچ برگ خرید مشترکی تولید می‌کند. به‌طوری‌که رابطه  $\frac{s'}{r'} = \frac{s}{r}$  برقرار است. حدس ما برای درجه عدد  $r'$  است. با محاسبه  $x^{r'} \bmod N$  می‌توان بررسی کرد که آیا این مقدار یک درجه هست یا خیر؟ اگر حاصل عبارت برابر یک شود،  $r'$  درجه  $x$  به پیمانه  $N$  خواهد بود. در الگوریتم ۲، محاسبات کوانتومی برای یافتن درجه به‌طور خلاصه آورده شده است.

تعداد گیت‌های مورد نیاز برای اجرای تبدیل هادامارد از مرتبه  $O(L)$  هست که در تبدیل فوریه معکوس، این تعداد از مرتبه  $O(L^2)$  خواهد شد. عملگر  $x^j \bmod N$  و الگوریتم کسرهای متوالی، هر یک به  $O(L^2)$  گیت نیاز دارند. بنابراین، بار محاسباتی در این مدار از مرتبه  $O(L^3)$  است.

#### ۵- الگوریتم شر

محاسبات کوانتومی، افزایش توان محاسباتی را نوید می‌دهند. پیتز شر<sup>۱</sup> توانست از ترازوی موجود در کامپیوترهای کوانتومی به‌منظور عامل‌یابی اعداد استفاده کند [۱]. این الگوریتم، عملاً بسیار ساده بود. ابتدا یک عدد برای عامل‌یابی دریافت می‌شود ( $N$ )

مرحله نهم: با به کار بردن  $m$  روی رایانه های کلاسیک، مقدار دوره تکرار  $\Gamma$  توسط روش های مختلف به دست می آید.

مرحله دهم: با داشتن مقدار  $\Gamma$ ، عوامل اول عدد  $N$  توسط ب.م.م، مطابق رابطه (۳۵) به دست می آیند. این مرحله توسط رایانه های کلاسیک انجام می شود.

$$\left. \begin{aligned} \gcd(a^{\Gamma/2} + 1, N) &= p \\ \gcd(a^{\Gamma/2} - 1, N) &= q \end{aligned} \right\} \Rightarrow N = p \cdot q \quad (35)$$

نتیجه جالبی که شر بدان دست یافت این بود که یک رایانه کوانتومی، در یک زمان از مرتبه چندجمله ای عمل تجزیه را انجام می دهد.

الگوریتم ۲: یافتن درجه به روش کوانتومی ورودی ها:

۱- یک جعبه سیاه  $U_{x,N}$

۲-  $t$  بیت کوانتومی که با  $|0\rangle$  شروع می شود.

۳-  $L$  بیت کوانتومی که با حالت  $|1\rangle$  شروع می شوند.

خروجی ها: یافتن درجه  $\Gamma$  مراحل الگوریتم:

حالت اولیه:  $|0\rangle|u\rangle$

ایجاد برهم نهی:  $\frac{1}{\sqrt{2^t}} \sum_{j=0}^{2^t-1} |j\rangle|u\rangle$

اعمال  $U_{x,N}$  با رابطه زیر:

$$\rightarrow \frac{1}{\sqrt{2^t}} \sum_{j=0}^{2^t-1} |j\rangle |x^j \bmod N\rangle \approx \frac{1}{\sqrt{r} 2^t} \sum_{s=0}^{r-1} \sum_{j=0}^{2^t-1} e^{2\pi i s j / r} |j\rangle |u_s\rangle$$

۴- اعمال تبدیل فوریه معکوس به ثبات اول:  $\frac{1}{\sqrt{r}} \sum_{s=0}^{r-1} \left(\frac{\tilde{s}}{r}\right) |u_s\rangle$

اندازه گیری ثبات اول:  $\rightarrow \left(\frac{\tilde{s}}{r}\right)$

اعمال الگوریتم کسره های متوالی:  $\rightarrow r$

### ۶- شبیه سازی در نرم افزار میپل

در این بخش به عنوان مثال اول، ابتدا با در نظر گرفتن ثبات ثانویه با دو خروجی و ثبات اولیه با سه ورودی، یک مسئله ساده را در نظر گرفته ایم. مدار تخمین فاز برای این مثال را در شکل (۵) مشاهده می نمایم. در جدول (۱) نتایج مربوط به اندازه گیری با تبدیل فوریه کوانتومی و ابر حالت<sup>۱</sup> متناظر ارائه شده است.

$$\frac{1}{\sqrt{Q}} \sum_{x=0}^{Q-1} |x\rangle |0\rangle \quad (29)$$

مرحله پنجم: اجرای تابع  $a^x \bmod N$  برای هر عدد ذخیره شده در ثبات ورودی و ذخیره سازی نتایج آن در ثبات خروجی. به دلیل توازی کوانتومی، این مرحله در یک گام اجرا می شود. رایانه کوانتومی تابع  $a^{(x)} \bmod N$  را محاسبه می کند که  $|x\rangle$ ، برهم نهی حالت های به دست آمده در مرحله چهارم است.

این مرحله، روی رایانه کوانتومی اجرا می شود. وضعیت ثبات های کوانتومی در این مرحله در رابطه (۳۰) نشان داده شده است:

$$\frac{1}{\sqrt{Q}} \sum_{x=0}^{Q-1} |x\rangle |a^x \bmod N\rangle \quad (30)$$

مرحله ششم: به دست آوردن ثبات خروجی با مقادیر  $K$ :

$$a^x \bmod N = K \quad (31)$$

این عمل به وسیله رایانه کوانتومی اجرا می شود. وضعیت ثبات های کوانتومی بعد از این مرحله عبارت است از:

$$\frac{1}{\sqrt{|A|}} \sum_{x' \in A} |x'\rangle |k\rangle \quad (32)$$

که در آن،  $A$  مجموعه ای از  $x'$  است به طوری که خواهیم داشت:  $a^{x'} \bmod N = K$  و  $|A|$  تعداد عناصر این مجموعه است.

مرحله هفتم: اعمال تبدیل فوریه کوانتومی روی ثبات ورودی. تبدیل فوریه کوانتومی باعث تغییر حالت  $|x\rangle$  می شود همان طور که در رابطه (۳۳) نشان داده شده است:

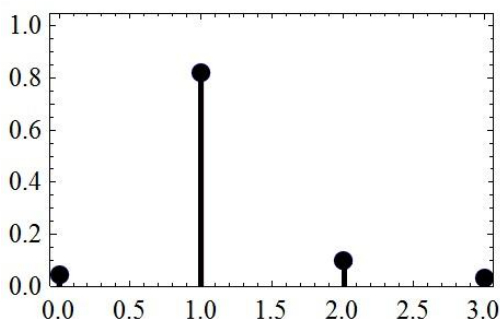
$$|x\rangle \rightarrow \frac{1}{\sqrt{Q}} \sum_{c=0}^{Q-1} |c\rangle e^{2\pi i x c / Q} \quad (33)$$

این مرحله توسط رایانه کوانتومی، در یک گام به وسیله توازی کوانتومی اجرا می شود. بعد از تبدیل فوریه کوانتومی، وضعیت ثبات ها به صورت زیر است:

$$\frac{1}{\sqrt{|A|}} \sum_{x' \in A} |c\rangle |k\rangle e^{2\pi i x' c / Q} \quad (34)$$

مرحله هشتم: اندازه گیری ثبات ورودی. این مقدار  $m$  نامیده می شود. این مرحله توسط رایانه کوانتومی اجرا می شود.

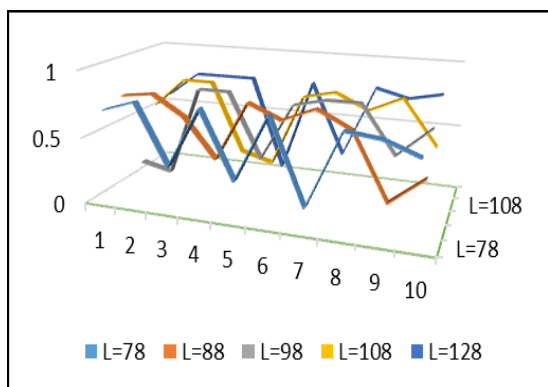
از لحاظ نظری اهمیت بیش تری برای تعمیم استفاده از تبدیل فوق خواهد داشت.



شکل (۶): احتمال متناظر با حالت‌های اندازه‌گیری شده جدول (۱)

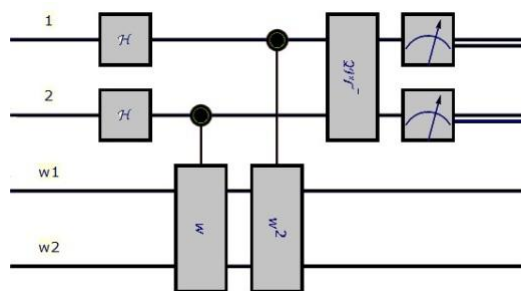
جدول (۲): نتایج به‌دست‌آمده از اجرای الگوریتم

تکرار	۱		۲	
	زمان (*)	مرتب‌ه	زمان (*)	مرتب‌ه
L=78	42.510(2)	27750	25.459(3)	38850
L=88	11.560(3)	40098	79.077(8)	12950
L=98	119.075(12)	30750	203.113(19)	12062
L=108	36.692(7)	40750	70.856(6)	40750
L=128	29.859(8)	30750	52.291(3)	12062



شکل (۷): احتمال متناظر با فازهای تخمین زده‌شده

در شکل (۷)، احتمال متناظر با فازهای تخمین زده‌شده برای همه اجراها نشان داده شده‌اند. به این صورت که برای هر پنج شبیه‌سازی، بردار و مقدار ویژه حالت ظاهر شده به‌دست‌آمده و در نتیجه مقدار فاز تخمین زده‌شده برای فاز متناظر و اندازه حالتی که احتمال رخداد آن را نشان می‌دهد در جدول (۲) آورده شده است. با توجه به شکل می‌توان دید که با کاهش تعداد کیوبیت‌های در نظر گرفته‌شده در ثبات (L)، احتمال رخداد در اجراها تغییر زیادی پیدا می‌کند. با افزایش L، احتمال رخداد



شکل (۵): مدار تخمین فاز برای مثال اول

جدول (۱): ابرحالت‌های به‌دست‌آمده در مثال اول

اندازه‌گیری	ابر حالت (سوپرپوزیشن)
$(O_1 \quad O_2)$	$(0.0975452 - 0.490393i) 0001\rangle + (0.277785 + 0.415735i) 0010\rangle + (0.490393 - 0.975452i) 0011\rangle + (-0.490393 + 0.097545i) 0000\rangle$
$(O_1 \quad I_2)$	$(0.415735 - 0.277785i) 0101\rangle + (0.0975452 - 0.490393i) 0110\rangle + (0.415735 + 0.277785i) 0111\rangle + (-0.415735 - 0.277785i) 0100\rangle$
$(I_1 \quad O_2)$	$(0.0975452 + 0.490393i) 1000\rangle + (0.0.490393 + 0.0975452i) 1001\rangle + (0.415735 - 0.277785i) 1010\rangle + (0.0975452 + 0.490393i) 1011\rangle$
$(I_1 \quad I_2)$	$-(0.277785 + 0.415735i) 1101\rangle + (0.490393 - 0.975452i) 1110\rangle + (0.277785 - 0.415735i) 1111\rangle + (-0.277785 + 0.415735i) 1100\rangle$

در شکل (۶)، احتمال متناظر با حالت‌های اندازه‌گیری شده در جدول (۱) نشان داده شده‌اند. حالت‌ها از بالا به پایین به ترتیب از چپ به راست با میله‌های نمودار متناظر شده‌اند.

در مثال دوم، الگوریتم شر با استفاده از نرم‌افزار میپل پیاده‌سازی شده است. نتایج عددی ارائه‌شده در جدول (۲) تجزیه عدد مرکب ده رقمی  $N=2596466813=27751*93563$  برای تعداد کیوبیت‌های در نظر گرفته‌شده در ثبات، جهت ۲ بار اجرای برنامه را نشان می‌دهد. هم‌چنین در این جدول تعداد تکرارها برای انتخاب عدد تصادفی اولیه و مرتبه به‌دست‌آمده نیز ارائه شده‌اند. نتایج تصادفی بودن زمان به‌دست‌آمده و هم‌چنین تعداد تکرارهای لازم برای انتخاب عدد تصادفی را که در جدول با \* نشان داده شده، به خوبی نشان می‌دهد. الگوریتم تبدیل فوریه تعمیم‌یافته (با استفاده از چندجمله‌ای‌های متعامد) به خوبی الگوریتم تبدیل فوریه کوانتومی معمولی عمل می‌کند. در عین حال



- [6] S. A. teane, "Quantum Computing," Rept. Prog. Phys., vol. 61, pp. 117-173, 1998.
- [7] A. J. Menezes, P. C. Van Oorschot, and S. A. Vanstone, "Handbook of applied cryptography," CRC press, 1996.
- [8] R. P. Feynman, "Simulating physics with computers," Int. J. Theor. Phys. 21, pp. 467-88, 1982.
- [9] J. F. Schneiderman, M. E. Stanley, and P. K. Aravind, "A pseudo-simulation of Shor's quantum factoring algorithm," arXiv preprint quant-ph/0206101, 2002.
- [10] T. Raditk, "Simulation of n-qubit quantum systems, I. Quantum registers and quantum gates," <http://cpc.cs.qub.ac.uk/summaries/ADWE>
- [11] "List of QC simulators," <http://web.archive.org>
- [12] Quantum information, "Controlled Quantum Dynamics," <http://www3.imperial.ac.uk/research/downloads>
- [13] C. B. McCubbin, "Openquacs, an open-source quantum computation simulator in maple," Ph.D. dissertation, University of Maryland, Baltimore County, 2000.
- [14] Y. S. Weinstein, M. A. Pravia, E. M. Fortunato, E. M. Lloyd, and D. G. Cory, "Implementation of the quantum Fourier transform," Phys. Rev. Letter., vol. 86, no. 9, pp. 18-89, 2001.
- [15] L. Hales and S. Hallgren, "An improved quantum Fourier transform algorithm and applications," In Foundations of Computer Science, 2000.
- [16] H. M. Ozaktas, Z. Zalevsky, and M. A. Kutay, "The fractional Fourier transform," Wiley, Chichester, 2001.
- [17] J. S. Walker, "Fast fourier transforms," CRC press, 1996.
- [18] S. Mallat, "A wavelet tour of signal processing," Academic press, 1999.
- [19] A. Zettl, "Sturm-liouville theory," American Mathematical Society, 2010.
- [20] M. A. Al-Gwaiz, "Sturm-Liouville theory and its applications," Springer, 2008.
- [21] G. M. D'Ariano, C. Macchiavello, and M. F. Sacchi, "On the general problem of quantum phase estimation," Phys. Letter A, vol. 248, no. 2, pp. 103-108, 1998.
- [22] S. Aaronson and A. Arkhipov, "The computational complexity of linear optics," In Proceedings of the forty-third annual ACM symposium on Theory of computing, ACM, pp. 333-342, 2011.

فاز بیش تر می شود و در اجراهای مختلف تفاوت کم تری نشان داده می دهد و این در واقع همان چیزی است که انتظار داریم، گرچه این موضوع را نمی توان در پنج اجرای متفاوت به خوبی و به طور کامل نشان داد.

باید توجه داشت با تغییر  $L$  نمی توان درباره سرعت انجام شبیه سازی اظهار نظر کرد. ولی به طور کلی با افزایش تعداد کیوبیت ها (مقدار  $L$ ) زمان اجرای شبیه سازی افزایش می یابد.

## ۷- نتیجه گیری

در مقاله حاضر مسئله تجزیه اعداد مرکب صحیح و مثبت با استفاده از رایانه کوانتومی مورد مطالعه قرار گرفت. الگوریتم تجزیه که توسط پیتر شر برای رایانه های کوانتومی معرفی شد، از دو بخش کوانتومی و کلاسیک تشکیل می شود. بخش کوانتومی الگوریتم شر که شامل تخمین فاز کوانتومی و تبدیل فوریه کوانتومی و عملگرهای یکانی کوانتومی است برای پیاده سازی نیاز به رایانه کوانتومی دارد. تبدیل فوریه کوانتومی و تعمیم آن مورد مطالعه و بررسی قرار گرفت. در ادامه عملگرهای یکانی، به ویژه تبدیل فوریه کوانتومی را با کمک نرم افزار میپل و با استفاده از کتابخانه Open QUACS شبیه سازی کردیم. ترازوی و درهم تنیدگی دو ویژگی اساسی رایانه های کوانتومی است که در رایانه کلاسیک قابل پیاده سازی نیستند ولی با استفاده از کت های، نتیجه این دو پدیده را می توان شبیه سازی کرد. برای اندازه گیری نیز از توابع کتابخانه معرفی شده به کارگیری گردید. برخی نتایج شبیه سازی تخمین فاز و اندازه گیری های صورت گرفته شده در شکل ها و جدول ها ارائه شده اند. برای پژوهش های آینده می توان کتابخانه را با استفاده از تبدیل فوریه سریع نیز مجهز کرد و با برنامه را برای تعداد کیوبیت های بیش تر توسعه بخشید.

## ۸- مراجع

- [1] P. W. Shor, "Polynomial-time algorithms for prime factorization and discrete logarithms on a quantum computer," SIAM J. Comput., vol. 26, no. 5, pp. 1484-1509, 1997.
- [2] R. Cleve, "The query complexity of order-finding," In Computational Complexity," 2000 Proceedings, 15th Annual IEEE Conference on IEEE, pp. 54-59, 2000.
- [3] A. Y. Kitaev, A. Shen, and M. N. Vyalvi, "Classical and quantum computation," Providence: American Mathematical Society, 2002.
- [4] A. Ekert and R. Jozsa, "Quantum computation and Shor's factoring algorithm," Rev. Mod. Phys., vol. 68, pp. 733-53, 1996.
- [5] M. L. Nielsen and I. L. Chuang, "Quantum Computation and Quantum Information," Cambridge University Press, New York, 2000.